

БІОЛОГІЯ

DOI 10.29254/2077-4214-2021-1-159-134-138

УДК 576.311.347:611.127-018

Загоруйко Г. Є., Марциновський В. П., *Загоруйко Ю. В., **Філатова В. Л., *Шмуліч О. В.

КІНЕТИКА ЗРОСТАННЯ ЛІНІЙНИХ РОЗМІРІВ, ПЛОЩІ ЗРІЗІВ ПИТОМОЇ

I ЗАГАЛЬНОЇ ПЛОЩІ ПОВЕРХНІ КАРДІОМІОЦІТІВ

У РАННЬОМУ ПОСТНАТАЛЬНОМУ ОНТОГЕНЕЗІ ЩУРІВ ВІСТАР

Рівненський державний гуманітарний університет (м Рівне)

*Харківський національний медичний університет (м. Харків)

**Українська медична стоматологічна академія (м. Полтава)

prof.zagoruykoGE@gmail.com

Зв'язок публікації з плановими науково-дослідними роботами. Робота виконана відповідно до тем НДР: «Теоретичні та прикладні аспекти розвитку біологічних наук» та «Анатомо-фізіологічні аспекти росту та розвитку людини й тварин», № державної реєстрації 0116U002990.

Вступ. Серце починає функціонувати вже на початковому етапі ембріонального розвитку хребетних тварин та людини [1]. Серцевий м'яз (міокард) утворений значною кількістю кардіоміоцитів (КМЦ), які з'єднані в ділянці вставних дисків та формують в складі міокарду спірально орієнтовані міокардіальні волокна [2, 3]. Структурну і функціональну цілісність міокарда забезпечують поздовжні і бічні з'єднання КМЦ. Латеральні з'єднання КМЦ сприяють поперечному розповсюдження електричних імпульсів до товщі міокарду. Ритмічне скручування і розкручування м'язових волокон міокарду під час їхнього скорочення і розслаблення приводить до ротаційного руху лівого шлуночка (ЛШ) [4, 5]. При цьому відбувається наповнення та подальший викид із порожнини ЛШ крові у велике коло кровообігу. У міокарді ссавців у процесі кардіоміогенезу відбуваються інтенсивний ріст, проліферація, диференціація, утворення та накопичення двохядерних (2я) КМЦ [6–10]. Перераховані вище процеси супроводжуються активним транспортом метаболітів та іонів по обидві боки сарколеми КМЦ. Відомо, що перенесення речовин та іонів через клітинну плазмолему як тварин так і рослин відбувається пропорційно до площин їхньої поверхні. Сарколема КМЦ виконує не лише бар'єрну функцію. Вона регулює транспорт різних іонів і органічних молекул між саркоплазмою і зовнішнім середовищем. Сарколема КМЦ містить трансмембральні іонні канали, які беруть активну участь у генерації електричних потенціалів. Найважливішими є Na^{+1} і Ca^{2+} – каналами. Na^{+1} – каналі забезпечують збудливість КМЦ і ритм роботи серця, а Ca^{2+} – каналі сприяють надходженню Ca^{2+} в саркоплазму м'язових клітин і активують скоротливу здатність КМЦ [11, 12]. Не викликає сумніву той факт, що лінійні розміри, об'єм, форма КМЦ і площа поверхні сарколеми взаємопов'язані між собою. Тому актуальне значення для визначення закономірностей постнатального розвитку міокарда ссавців і людини мають дослідження кінетики росту лінійних розмірів, об'єму і площи поверхні скоротливих КМЦ.

Мета роботи. Визначити закономірності кінетики росту лінійних розмірів, питомої і загальної площи

поверхні 2я-КМЦ в міокарді ЛШ білих щурів Wistar в процесі раннього постнатального онтогенезу тварин.

Об'єкт і методи дослідження. У роботі використані щури самці Вістар у віці від народження (н/р) до 45 діб. Тварини були взяті з розплідника біологічного факультету ХДУ (м. Харків), утримувалися у стандартних умовах. Всі маніпуляції із щурами проводилися з ретельним дотриманням «Європейської конвенції про захист хребетних тварин, що використовуються в експериментах і наукових дослідженнях» (Directive 2010/63 / EU) і принципів біоетики, викладеними в Законі України «Про захист тварин від жорсткого поводження» (№ 1759 від 15.12.2009 р.). Зразки міокарда ЛШ фіксували, зневоднювали, просочували і клали у суміш іпоксидних смол епону і арадіту за стандартними методиками [13]. Напівтонкі зрізи міокарду ЛШ одержували на ультратомі УМТП-6 і фарбували 1% розчином азур 11. Морфометрію перетинів 2я-КМЦ в напівтонких зрізах міокарда проводили при збільшенні 1000 \times світлового мікроскопу МБІ-15. Визначення лінійних розмірів зрізів 2я-КМЦ здійснювали за допомогою спірального окулярного мікрометра ОМС- 6. Проводили вимірювання меншого діаметра поперечних зрізів 2я-КМЦ (D , мкм) і довжину повздовжніх розмірів 2я-КМЦ (L , мкм) – відстань між протилежно розташованими вставними дисками КМЦ. Вимірювали тільки такі поперечні і поздовжні зрізи КМЦ, в перетинах яких було ядро міоциту. При проведенні обрахування вторинних морфометричних характеристик до яких відносяться: площа поперечних і повздовжніх зрізів кардіоміоцитів, питомої і повної поверхні сарколеми – форму КМЦ м'язових клітин апроксимували за допомогою циліндра. Це дозволило значно полегшити отримання стереометричних показників КМЦ. Поверхневі характеристики КМЦ у формі цилінду легко обчислюються за наявності цифрових значень ширини і довжини зрізів КМЦ. За допомогою відповідних формул визначали показники: площа поздовжнього розміру КМЦ $S_{\square}=(D \times L)$ мкм², поперечного зрізу КМЦ $S_{\square}=(0,785 \times D^2)$ мкм², площу бічної поверхні КМЦ за формулою $S_b=\pi \times D \times L$. Загальну площину поверхні КМЦ у формі цилінду обчислювали за формулою $S_{\text{КМЦ}} = (S_b + 2S\varnothing)$ мкм². Об'єм (V) і питому площину поверхні КМЦ (S_v) у формі цилінду визначали за формулами: $V_{\text{КМЦ}} = (S\varnothing \times L)$ мкм³ і $S_v_{\text{КМЦ}} = (S_{\text{КМЦ}} / V_{\text{КМЦ}})$ мкм⁻¹. Реальне (p) значення загальної площини поверхні КМЦ визначали за допомогою формули $S_{\text{КМЦ}} (p) = S_v_{\text{КМЦ}} (p) \times$

ВКМЦ. Цифрові значення морфометричного показника $S_{\text{KМЦ}}$ (р) КМЦ визначали методом «випадкових ліній в комбінації з точковим методом» [14] при проведенні морфометричного аналізу напівтонких зрізів міокарду ЛШ. Для цього використовували окулярну вимірювальну вставку до бінокуляру АУ-26. Отримані у процесі досліджень значення морфометричних показників D , L , S_{\square} і S_{\varnothing} були використані для обчислення середньодобових швидкостей росту лінійних розмірів КМЦ (ΔD мкм/добу, ΔL мкм/добу) і визначення площин перетинів КМЦ ΔS_{\varnothing} і ΔS_{\square} (мкм²/добу). Морфометричні значення опрацьовували графічно-аналітичним методом та за допомогою пакету програм для персонального комп’ютера IBM – SigmaPlot for Windows 9.0.

Результати досліджень та їх обговорення. У роботі наведені середні цифрові значення для вище перерахованих морфометричних показників зростання розмірів КМЦ. На **рис. 1** наведено графік 1, який описує кінетику зростання діаметру поперечного перетину 2я-КМЦ в міокарді ЛШ. На протязі 45 діб значення показника $D_{\text{кмц}}$ монотонно зростають в 1,68 рази від 9,1 (н/р) до $15,3 \pm 0,5$ мкм. Графік 1 має вигляд S – подібної кривої, яка витягнута вздовж вісі часу. В інтервалі часу (н/р - 5 доба) та (40-45) діб спостерігали сповільнене зростання цифрових значень $D_{\text{кмц}}$ відповідно: від 9,1 мкм до 9,3 мкм та від 14,9 до 15,3 мкм. В іншому інтервалі часу (5 – 40) діб визначалося активне зростання діаметру 2я-КМЦ від 9,3 до 14,9 мкм.

На графіку 1 розташована точка перегину «А» з координатами відповідно (13,3 мкм, 30 діб). Приведений графік 1 свідчить про те, що при $t \leq 30$ діб розвитку щурів відбувається прискорене зростання діаметру 2я-КМЦ, а при $t \geq 30$ діб – відбувається сповільнення. На **рисунку 1** наведений графік 2 кінетики «зростання → зменшення» середньодобової швидкості значень показника $\Delta D_{\text{кмц}}$. Графік 2 розташований асиметрично відносно вертикальної штрихової лінії, яка проходить через точку «А» і зміщений вправо вздовж вісі часу. Цей графік складається з двох періодів, тривалість яких становить «2:1». Перший період розвивається в інтервалі (н/р – 30 діб). Протягом цього періоду часу відбувається зростання в 6,25 рази значень показника $\Delta D_{\text{кмц}}$ від 0,04 мкм/добу до максимального 0,25 мкм/добу. Другий період обмежений координатами (30 – 45) діб. На протязі цього часу відбувається швидке зменшення в 6,25 рази значень $\Delta D_{\text{кмц}}$ від 0,25 мкм/добу до 0,04 мкм/добу на 45 день. Таким чином, при $t \leq 30$ діб, відбувається збільшення середньодобової швидкості росту діаметру КМЦ, а при $t \geq 30$ діб – зменшення. На **рисунку 2** наведено графік 1 кінетики зростання цифрових значень площин поперечного перетину 2я-КМЦ $-S_{\varnothing\text{кмц}}$. Форма цього графіку мало відрізняється від форми графіка 1 на малюнку 1. Це обумовлено тим, що показники $S_{\varnothing\text{кмц}}$ і $D_{\text{кмц}}$ пов’язані між собою залежністю $S_{\varnothing\text{кмц}} = 0,785 \times D^2_{\text{кмц}}$. На протязі 45 діб значення $S_{\varnothing\text{кмц}}$ зростають в 2,83 рази від 65 (н/р) до 184 ± 10 мкм². На графіку 1 розташована точка «А» з координатами (137 мкм², 30 діб). Це точка перетину графіку. Таким чином, при $t \leq 30$ діб, відбувається прискорене зростання значень $S_{\varnothing\text{кмц}}$, а при $t \geq 30$ діб – сповільнення. Графік 2 на **рис. 2** описує кінетику «зростання → зменшення» середньодобової

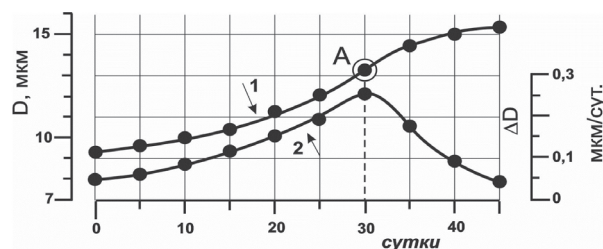


Рисунок 1 – Кінетика росту цифрових значень $D_{\text{кмц}}$ (графік 1) і «зростання → зменшення» значень $\Delta D_{\text{кмц}}$ (графік 2). По вісі абсцис – доба розвитку.

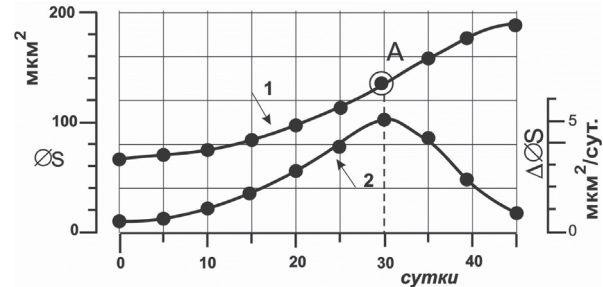


Рисунок 2 – Кінетика росту значень $S_{\varnothing\text{кмц}}$ (графік 1) і «зростання → зменшення» значень $\Delta S_{\varnothing\text{кмц}}$ (графік 2). По вісі абсцис – доба розвитку.

швидкості значень показника $\Delta S_{\varnothing\text{кмц}}$. Графік розташований асиметрично відносно вертикальної штрихової лінії, яка проходить через точку «А» і зміщений вправо вздовж вісі часу.

Графік складається з двох послідовних періодів, тривалість яких становить «2:1». Перший період розвивається в інтервалі (н/р – 30 діб). На протязі цього часу відбувається зростання в 9,4 рази значень $\Delta S_{\varnothing\text{кмц}}$ від 0,55 (н/р) до максимуму 5,20 мкм²/добу. Другий період обмежений координатами (30 – 45) діб. Протягом цього часу відбувається швидке зменшення в 5,2 рази значень $\Delta S_{\varnothing\text{кмц}}$ від 5,2 мкм²/добу до 1,0 мкм²/добу. На **рисунку 3** наведено графік 1, який описує кінетику збільшення поздовжнього розміру 2x-КМЦ $-L_{\text{кмц}}$. Протягом 45 діб значення показника $L_{\text{кмц}}$ зростають в 3,24 рази від 25 мкм (н/р) до 81 ± 5 мкм. З даних графіку випливає, що на протязі перших 10 діб після народження щурят, поздовжній розмір КМЦ швидко збільшується в 2 рази від 25 мкм до 50 мкм. На графіку 1 розташована точка перегину «А» з координатами відповідно (39 мкм, 5 діб). Ліворуч від точки «А» ділянка графіку 1 випукла донизу (↓), а праворуч точки «А» – випукла догори (↑). Це свідчить, що при $t \leq 5$ діб, спостерігається прискорене зростання довжини КМЦ, а при $t \geq 5$ діб – сповільнення.

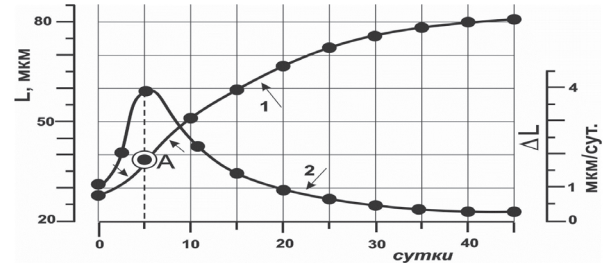


Рисунок 3 – Кінетика росту цифрових значень $L_{\text{кмц}}$ (графік 1) і «зростання → зменшення» значень $\Delta L_{\text{кмц}}$ (графік 2). По вісі абсцис – доба розвитку.

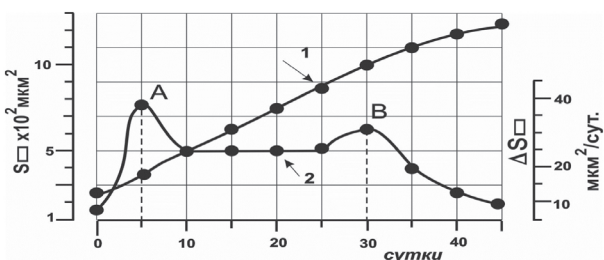


Рисунок 4 – Кінетика збільшення значень показника $S_{\square}\text{кмц}$ (графік 1) і коливання значень $\Delta S_{\square}\text{кмц}$ (графік 2). По вісі абсцис – доба розвитку.

Максимальний приріст довжини КМЦ, який дорівнює 14 мкм, спостерігається на протязі 5 діб після народження щурів. Мінімальний приріст довжини КМЦ у 1,0 мкм відбувається в інтервалі часу (40 – 45) діб. Форма графіку $L_{\text{кмц}}$ суттєво відрізняється від форми графіка $D_{\text{кмц}}$. Це обумовлено різною залежністю показників $L_{\text{кмц}}$ і $D_{\text{кмц}}$ від швидкості процесу їх «зростання → зменшення». Протягом 45 діб після народження щурів, співвідношення показників L/D збільшується від 2,75 (н/р) до 5,3. На рис. 3 представлений графік 2 з метою визначення середньодобової швидкості «зростання → зменшення» цифрових значень показника $\Delta L_{\text{кмц}}$. Графік розташований асиметрично відносно вертикальної штрихової лінії, яка проходить через точку перегину «А» і доволі «різко» зміщений ліворуч вздовж вісі часу. Графік 2 складається з двох послідовних періодів, тривалість яких $1:8$. Перший період обмежений інтервалом (н/р – 5 діб). У цей час відбувається швидкий ріст в 4 рази значень $\Delta L_{\text{кмц}}$ від 1,0 (н/р) до максимальних показників – 4,0 мкм/добу. Другий період обмежений координатами (5 – 45) діб. В інтервалі часу (5 – 25) діб відбувається швидке зменшення в 6,7 рази значень $\Delta L_{\text{кмц}}$ від 4,0 мкм/добу до 0,6 мкм/добу. У подальшому, при $t \geq 25$ діб, цифрові значення показника $\Delta L_{\text{кмц}}$ зменшуються до 0,2 мкм/добу на 45 день. Отже, при $t \leq 5$ діб після народження щурів відбувається збільшення середньодобової швидкості росту довжини 2я-КМЦ до максимуму, а при $t \geq 5$ діб – зменшення.

На рисунку 4 представлений графік 1 кінетики зростання площини поздовжнього розміру 2x-КМЦ – $S_{\square}\text{кмц}$. Протягом 45 діб значення показника $S_{\square}\text{кмц}$ зросли в 5,5 рази від 227 (н / р) до 1240 ± 2 мкм². В інтервалі часу (10 – 25) діб форма участку графіка являє собою пряму лінію. Потім, при $t \geq 30$ діб, форма графіка «викривається», спостерігається сповільнення зростання значень $S_{\square}\text{кмц}$, особливо в інтервалі часу (40 – 45) діб від 1190 до 1240 ± 20 мкм².

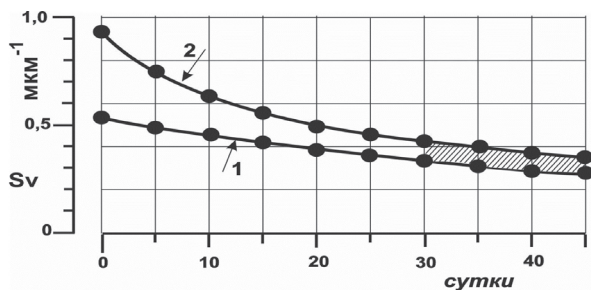


Рисунок 5 – Кінетика зменшення розрахункових значень $S_v\text{Kmц}$ (графік 1) і реальних значень $S_v\text{Kmц}(r)$ (графік 2). По вісі абсцис – доба розвитку.

На рисунку 4 наведено графік 2, який характеризує середньодобову швидкість змін цифрових значень $\Delta S_{\square}\text{кмц}$. Цей графік має складну форму і два максимуми з координатами відповідно А є (5 діб, 38,4 мкм²/добу) і В є (30 діб, 32 мкм²/добу). Складна форма графіку 2 обумовлена тим, що показник $S_{\square}\text{кмц}$ є функцією двох змінних величин $L_{\text{кмц}}$ і $D_{\text{кмц}}$, кінетика зростання яких істотно відрізняється одна від одної (дивись рис. 1 графік 1 і рис. 3 графік 1). Наближена формула для визначення значень $\Delta S_{\square}\text{кмц}$ має такий вигляд: $\Delta S_{\square}\text{кмц} \approx (L_{\text{кмц}} \times \Delta D_{\text{кмц}}) + (D_{\text{кмц}} \times \Delta L_{\text{кмц}})$ і дозволяє оцінити внесок кожного додатку в кінцевий результат – величину показника $\Delta S_{\square}\text{кмц}$. В першому інтервалі (н/р – 5 діб) значення показника $\Delta S_{\square}\text{кмц}$ зростають в 6 разів! від 6,4 до 38,4 мкм²/добу. У другому інтервалі (5 – 10) діб значення $\Delta S_{\square}\text{кмц}$ зменшуються до 25 мкм²/добу. У третьому інтервалі (10 – 25) діб ділянка графіка має прямолінійний вигляд, для якого буде характерно $\Delta S_{\square}\text{кмц} \approx \text{const} \approx 25 \text{ мкм}^2/\text{добу}$. Це пояснюється тим, що в інтервалі часу (10 – 25) діб, зменшення значень ($L_{\text{кмц}} \times \Delta D_{\text{кмц}}$) одночасно компенсується зростанням значень ($D_{\text{кмц}} \times \Delta L_{\text{кмц}}$). В четвертому інтервалі (25 – 30) діб, значення показника $\Delta S_{\square}\text{кмц}$ зростають від 25 до 32 мкм²/добу. В п'ятому інтервалі значення $\Delta S_{\square}\text{кмц}$ зменшуються від 32 до 6,4 мкм²/добу на 45 день після народження щурів.

На рисунку 5 представлений графік 1 кінетики зменшення значень $S_v\text{Kmц}$ – питомої площини поверхні 2я-КМЦ, форма яких апроксимована круговим циліндром. На протязі 45 діб значення $S_v\text{Kmц}$ зменшуються в 1,8 рази від 0,52 (н/р) до 0,286 мкм⁻¹. На рисунку 5 зображений графік 2 кінетики поступово-го зменшення реальних (р) значень питомої площини поверхні 2я-КМЦ – $S_v\text{Kmц}(r)$. Протягом 45 діб значення показника $S_v\text{Kmц}(r)$ зменшуються у 2,68 рази від 0,93 (н/р) до 0,347 мкм⁻¹. В інтервалі часу (н/р – 15) діб цифрові значення показників $S_v\text{Kmц}(r)$ і $S_v\text{Kmц}$ істотно відрізняються. При $t \geq 30$ діб спостерігається повільне і монотонне наближення ділянок графіков 1 і 2.

На рисунку 6 наведені графіки кінетики зростання цифрових значень $SKMц$ – загальної площини поверхні КМЦ, форма яких апроксимована циліндром це (графік 1) і графік 2 $SKMц(r)$, цифрові значення для якого визначали за формулою

$$SKMц(r) = S_v\text{Kmц}(r) \times VKMц.$$

За 45 діб значення показника $SKMц$ (графік 1) зросли у 5 разів від 845 (н/р) до 4260 ± 200 мкм², а значення показника $SKMц(r)$ збільшилися у 3,5 рази від 1470 до 5170 ± 200 мкм². На графіку 2 розташовані дві точки перегину з координатами А є (5 діб, 2130 мкм²) і В є (30 діб, 4300 мкм²), в яких локальні ділянки графіку випуклі догори (↑).

Поява локальних зон перегину графіка обумовлено різним за часом початком активації процесів росту поздовжнього і поперечного розмірів КМЦ. Максимальна середньодобова швидкість росту поздовжнього розміру 2я-КМЦ визначається у міокарді 5-ти добових щурів, а максимальна середньодобова швидкість росту поперечного розміру 2я-КМЦ – у віці 30 діб. На рисунку 6 представлений графік 3 кінетики зменшення цифрових значень показника $k = SKMц(r)/SKMц$. Коєфіцієнт «k» показує у скільки разів реальна площа поверхні КМЦ більше

площі поверхні КМЦ у формі циліндуру. Найбільша швидкість зменшення значень k визначається в інтервалі часу ($n/p - 15$) діб. За цей період цифрові значення k зменшуються в 1,4 рази від 1,79 (n/p) до 1,28. Після 15 діб значення k повільно асимптотично наближаються при $t \rightarrow 45$ діб, до числа 1,2.

Висновки. Результати проведених морфометричних досліджень дозволили встановити, що у процесі постнатального дозрівання 2я-КМЦ, в інтервалі часу ($n/p - 45$) діб, збільшується довжина КМЦ від 25 (n/p) до 81 ± 5 мкм, зростає діаметр по-перечного перетину міоцитів від 9,1 (n/p) до $15,3 \pm 0,5$ мкм, збільшується площа поверхні сарколеми КМЦ від 1470 (n/p) до 5170 ± 200 мкм². У процесі постнатального кардіоміогенезу складна форма поверхні 2я-КМЦ поступово набуває прямої форми. Найбільша активність процесу випрямлення (згладжування) сарколеми і збільшення площи її поверхні, спостерігається на протязі перших 30 діб після народження щурят. Це обумовлено інтенсивним зростанням лінійних розмірів 2я-КМЦ. До 30-ї доби закінчується формування вставних дисків і реальна форма більшості 2я-КМЦ наближається до форми кругового циліндуру. Це дає можливість визначити реальну (p) площу поверхні 2я-КМЦ за допомогою емпіричної формули $SKM\dot{C}(p) \approx SKM\dot{C} \times k$. У цій формулі $SKM\dot{C}$ – загальна площа поверхні 2я-КМЦ апроксимованих круговим циліндром, у якого D і L відповідно, ширина і довжина КМЦ. Критерієм наближення значень $SKM\dot{C} \rightarrow SKM\dot{C}(p)$ є показник « k » – коефіцієнт апроксимації. Цифрові значення k визначають за формулою $k = S_v KM\dot{C}(p) / S_v KM\dot{C}$. У наведеній формулі $S_v KM\dot{C}$ – питома площа поверхні

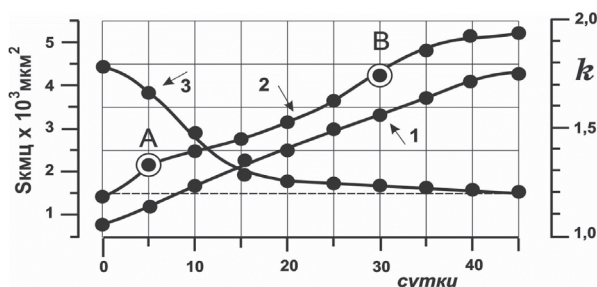


Рисунок 6 – Кінетика росту значень $SKM\dot{C}$ міоцитів у формі циліндуру (графік 1) і реальних значень $SKM\dot{C}(p)$ (графік 2). Кінетика зменшення значень показника $k = SKM\dot{C}(p)/SKM\dot{C}$ (графік 3). По вісі абсцис – дoba розвитку.

кругового циліндуру. Цифрові значення показника $S_v KM\dot{C}(p)$ визначають при морфометрії напівтонких зрізів міокарда ЛШ методом «випадкових ліній в комбінації з точковим методом», використовуючи квадратну решітку в окулярі світлового мікроскопу. У результаті проведених досліджень нами було встановлено, що при $t \geq 30$ діб, апроксимація форми 2я-КМЦ круговим циліндром цілком вправдано і дозволяє з достатньою точністю визначати значення $SKM\dot{C}(p)$ за коефіцієнтом апроксимації « k ». Запропонований нами метод визначення цифрових значень $SKM\dot{C}(p)$ скоротливих КМЦ цілком об'єктивний, наочний і простий в процесі проведення обчислювальних процедур.

Перспективи подальших досліджень. Полягають у проведенні морфометричного дослідження закономірностей кінетики постнатального розвитку міофібріл в КМЦ міокарда ЛШ серця щурів Wistar.

Література

1. Procak TV, Zabrodska OS. Osoblivosti embriogenezu sercya ta joho struktur. Visnik probi. biol. i med. 2018;3(145):38-41. [in Ukrainian].
2. Unasheva AI. Mekhanika levogo zheludochka u zdorovych detej i podrostkov, rozhdyonynnih donoshennymi [dissertaciya]. Tomsk: Federal'noye gosudarstvennye byudzhetnoye nauchnoye uchrezhdeniye «Tomskiy natsional. issledov. meditsinskij tsentr Rossiyskoy akadem. nauk»; 2021. 179 s. [in Russian].
3. Bokeriya OL, Averina II. Dvizhenie serdca v norme i pri razlichnoj patologii, opredelenie rotacii, tvista i skruchivaniyu. Byullet. NCSSKH im. AN.Bakuleva . 2014;15(4):11-23. [in Russian].
4. Lin CI, Lin CY, Chen CH. Partitions the heart: mechanisms of cardiac septation and valve development. Development. 2012;139:3277-3299.
5. Torrent-Guasp F, Buckberg MJ, Kosica A. Systolic ventricular filling. Eur. J. Cardiothorac Surg. 2004;25(3):376-386
6. Suslonova OV, Roshchevskaya IM, Rasputina AA. Morfometriya zheludochkov serdca krys liniu NISAG v period rannego postnatalnogo razvitiya. Izvestiya Komi nauch. Centra UrO RAN. 2016;1(25):45-50. [in Russian].
7. Gorelova NI. Harakteristika histogenetichnih procesiv u serci lyudini na rannih etapah kardiogenezu. Morfologiya. 2007;1(1):59-62. [in Ukrainian].
8. Tverdohlib IV. Zakonomirnosti formuvannya heterogennosti sercya v rannomu ontogenezi [dissertaciya]. Harkiv: Kharkiv. derzh. med universitet 1996. 371 s. [in Ukrainian].
9. Zahorukko GE, Zahorukko YuV, Shmulich OV. Kinetika processov rosta linejnyh razmerov i chislennosti kardiomiocitov v miokarde kompleksa (LZH+MZHP) do i posle rozhdeniya krys. Vis. probl. biol. i med. 2018;1(146):36-9. [in Russian].
10. Zahorukko YuV, Zahorukko GE, Martsinovskii VP, Filatova VL. Zakonomernosti kardiomiogeneza u krys Wistar: rost symmarnoi chislennosti kardiomiotsitov u obrazovanije poplyatlitsy dviydernykh miotsitov v parenhime miokarda kompleksa (LZH +MZHP). Visnik probi. biol. i med. 2019;2(149):70-5. [in Russian].
11. Kodirov SA, Zhuravlev VL, Safonova TA. Ionnye kanaly v kardiomiocitah mlekopitatuyushchih. Klinicheskaya farmakologiya i lekarstvennaya terapiya. 2004;3(4): 27-41. [in Russian].
12. Bogucka Kl. Klinichna biofizika: strukturna organizaciya ta biofizichni vlastivosti membran. Kiiv; 2020. 50 s. [in Ukrainian].
13. Morozova KN. Elektronnaya mikroskopiya v citologicheskikh issledovaniyah: metodicheskoe posobie. NNIGU: Novosibirsk, 2013. 85 s. [in Russian].
14. Avtandilov GG. Osnovy kolichestvennoy patologicheskoy anatomii. M.: Meditsina; 2002. 240 s. [in Russian].

КІНЕТИКА ЗРОСТАННЯ ЛІНІЙНИХ РОЗМІРІВ, ПЛОЩІ ЗРІЗІВ, ПИТОМОЇ І ЗАГАЛЬНОЇ ПЛОЩІ ПОВЕРХНІ КАРДІОМІОЦІТІВ У РАНЬОМУ ПОСТНАТАЛЬНОМУ ОНТОГЕНЕЗІ ЩУРІВ ВІСТАР

Загоруйко Г. Є., Марциновський В. П., Загоруйко Ю. В., Філатова В. Л., Шмуліч О. В.

Резюме. На протязі 45 діб після народження щурів в міокарді ЛШ відбуваються безперервні процеси зростання довжини і ширини 2я – КМЦ відповідно від 25 до 81 ± 5 мкм та від 9,1 (n/p) до $15,3 \pm 0,5$ мкм. Площі повздовжнього і по-перечного зрізів КМЦ зростають відповідно від 227 (n/p) до 1240 ± 20 мкм² та від 65 до 184 ± 10 мкм². За цей період часу реальна площа поверхні КМЦ зростає від 1470 до 5170 ± 200 мкм². У процесі постнатального кардіоміогенезу складчаста форма поверхні 2я-КМЦ поступово набуває прямої форми. Най-

більш активний процес випрямлення (згладжування) сарколеми і збільшення площини поверхні, спостерігається на протязі перших 30 діб після народження щурят. Це зумовлено інтенсивним збільшенням лінійних розмірів 2я-КМЦ. До 30-ї доби закінчується формування вставних дисків і реальна форма більшості 2я-КМЦ наближається до форми кругового циліндра. Це дозволяє визначати реальну (r) площину поверхні 2я-КМЦ за допомогою емпіричної формули $SKM\bar{C}(r) \approx SKM\bar{C} \times k$. У цій формулі $SKM\bar{C}$ – загальна площа поверхні 2я-КМЦ априксимованих круговим циліндром, у якого $D = L$, відповідно, ширина і довжина КМЦ. Критерієм наближення значень $SKM\bar{C} \rightarrow SKM\bar{C}(r)$ є показник « k » – коефіцієнт априксимації. Цифрові значення « k » визначають за формулою $k = S_{\text{v}} \text{KM}\bar{C}(r) / S_{\text{v}} \text{KM}\bar{C}$. У наведеній формулі $S_{\text{v}} \text{KM}\bar{C}$ – питома площа поверхні кругового циліндра. Цифрові значення показника $S_{\text{v}} \text{KM}\bar{C}(r)$ визначають при морфометрії напівтонких зрізів міокарду ЛШ методом «випадкових ліній в комбінації з точковим методом». Для цього потрібно використовувати квадратну решітку в окулярі світлового мікроскопа. В результаті проведених досліджень нами було встановлено, що при $t \geq 30$ діб, априксимація форми 2я-КМЦ круговим циліндром цілком віправдано і дозволяє з достатньою точністю визначати значення $SKM\bar{C}(r)$ за допомогою коефіцієнта априксимації « k ». Запропонований метод визначення цифрових значень $SKM\bar{C}(r)$ скоротливих КМЦ цілком об'єктивний, наочний і простий в процесі проведення обчислювальних процедур.

Ключові слова: кардіогенез, морфометрія, кардіоміоцит, сарколема.

KINETICS OF GROWTH OF LINEAR SIZES, AREA OF SECTIONS, SPECIFIC AND TOTAL SURFACE OF CARDIOMYOCYTES IN EARLY POSTNATAL ONTOGENESIS OF VISTAR RATS

Zagoruiko G. E., Martsinovsky V. P., Zagoruiko Yu. V., Filatova V. L., Shmulich O. V.

Abstract. The presented data of morphometric studies indicate that in the process of postnatal maturation of CMC, in the time interval ($n-b - 45$) days, the length of the CMC increases from 25 ($n-b$) to 81 ± 5 μm , the cross-sectional diameter of myocytes increases from 9.1 ($n-b$) up to 15.3 ± 0.5 μm . The values of the L / D index increase from 2.75 ($n-b$) to 5.3 by 45 days. The complex folded and convoluted shape of the CMC surface in newborn rat pups gradually straightens out during postnatal ontogenesis. The most active process of straightening (smoothing) sarcolemma CMC and an increase in its surface area observed within 30 days after birth of rat pups. This is due to the intensive growth at the beginning of the longitudinal size and then the transverse size of the cardiac left ventricular cardiac muscle. By the 30-th day after birth of rat pups, the formation of intercalated discs ends. The presented data indicates that at $t \geq 30$ days, the approximation of the spatial form of the 2c-CMC LV by a circular cylinder is quite justified and allows us to determine the values of the real surface area of CMC according to the approximate formula $Scmc(r) \approx Scmc \times k$. In this formula: $Scmc$ – total surface area of a circular cylinder, $k \approx 1.2$. The criterion for the optimality of the approximation $Scmc \rightarrow Scmc(r)$ is the index $k = Svcmc(r) / Scmc$. The $Svcmc(r)$ values are determined by the “random secant combined with the point method” method. $Svcmc$ is the specific surface area of a CMC in the form of a cylinder. At $t \geq 30$ days, the approximation of the CMC is shaped by a circular cylinder allows the values of $Scmc(r)$ to be determined with sufficient accuracy using the coefficient k . The proposed method for determining the values of $Scmc(r)$ is simple in the objectivity, clarity and simplicity of the computational procedures.

Key words: cardiogenesis, cardiomyocyte, morphometry, approximation.

Рецензент – проф. Небесна З. М.
Стаття надійшла 15.12.2020 року

DOI 10.29254/2077-4214-2021-1-159-138-143

УДК 504.53 + 630*1

Стрижак О. В., Земляний О. А., Ломига Л. Л.

ЕКОЛОГО-МІКРОМОРФОЛОГІЧНА ХАРАКТЕРИСТИКА ҐРУНТОВОРНИХ ПРОЦЕСІВ БІОГЕОЦЕНОЗІВ ВЕРХНЬОЇ ТРЕТИНИ БАЙРАКУ ГЛІБОКОГО

ДЗ «Дніпропетровська медична академія МОЗ України» (м. Дніпро)

istrizhak_ol@ua.fm

Зв'язок публікації з плановими науково-дослідними роботами. Робота виконувалася в рамках держбюджетної теми «Теоретичне обґрунтування впровадження у ступу України лісотипологічних принципів з метою відновлення лісів, зупинення деградації ґрунтів та запобігання опустелювання». Номер державної реєстрації 0115U002398.

Вступ. Територія Степового Придніпров'я має значний природно-ландшафтний потенціал, який є базисом для збереження та відновлення біорізноманіття. Особливе значення для степової зони України мають лісові біогеоценози, які є унікальними азональними та інтраzonальними екосистемами з максимальною концентрацією видового, ценотичного, ґрутового та ландшафтного різноманіття. Їх стало функціонування та охорона є невід'ємною частиною збереження

біорізноманіття, а також запобігання спустелювання природних ресурсів України, що має не тільки велике державно-господарське значення, а й меліоративне, рекреаційне і, нарешті, загальнолюдське, що впливає на менталітет населення країни [1, 2, 3].

Лісові екосистеми у степовій зоні України перебувають в умовах географічної невідповідності, отже вони надзвичайно чутливі до негативних екологічних змін. У сучасний період територія Степового Придніпров'я зазнає значного антропо-техногенного тиску, зумовленого високою концентрацією промислових об'єктів, інтенсивним розвитком аграрного сектора, вирубуванням лісів з подальшою зміною цільового призначення земель, знищеннем захисних насаджень та неконтрольованою забудовою тощо. Все це викликає значний дисбаланс у біоценозах та